

УДК 548.0 : 537 : 546.27'621'663/.669

## ЭЛЕКТРИЧЕСКИЕ И МАГНИТНЫЕ СВОЙСТВА СОЕДИНЕНИЙ $\text{LnAlB}_{14}$ ( $\text{Ln}=\text{Tb}, \text{Dy}, \text{Ho}, \text{Er}, \text{Lu}$ )

*Н. Б. Брандт, А. А. Гиппенус, В. В. Мошалков, Хо Хыу Нян,  
В. Н. Гурин, М. М. Корсукова, Ю. Б. Кузьма*

Исследован температурный ход намагниченности  $M(T, H_0)$  ( $T=5-280$  К) в магнитном поле  $H_0=2$  кЭ у монокристаллических образцов соединений  $\text{LnAlB}_{14}$  ( $\text{Ln}=\text{Tb}, \text{Dy}, \text{Ho}, \text{Er}, \text{Lu}$ ). Зависимости  $M(T)$  в широком интервале температур описываются законом Кюри—Вейссса:  $M(T) \sim \mu_{\text{eff}}^2/(T-\Theta)$  с температурой Кюри  $\Theta=10, -13, -16, -19$  К и эффективным магнитным моментом  $\mu_{\text{eff}}=11.0, 12.1, 11.8, 11.2 \mu_B$  для  $\text{Ln}=\text{Tb}, \text{Dy}, \text{Ho}, \text{Er}$  соответственно. Измерены температурные зависимости сопротивления  $R(T)$  ( $T=1.5-300$  К) и магнетосопротивления  $R(H)$  соединения  $\text{ErAlB}_{14}$  в магнитных полях до 40 кЭ. Обнаружено, что зависимость  $R(T)$  в широком интервале температур следует закону Мотта  $R=R_0 \exp [-(T_0/T)^{1/4}]$ , а для зависимости  $R(H)$  характерно наличие гигантского отрицательного магнетосопротивления. По совокупности полученных данных соединения  $\text{LnAlB}_{14}$  ( $\text{Ln}=\text{Tb}, \text{Dy}, \text{Ho}, \text{Er}, \text{Lu}$ ) могут быть отнесены к новому классу полумагнитных полупроводников.

Кристаллическая структура соединений типа  $\text{MAlB}_{14}$  (где  $\text{M}=\text{Li}, \text{Mg}$ ) представляет собой трехмерный каркас, образованный икосаэдрами из атомов бора ( $\text{B}_{12}$ ), а в пустотах между икосаэдрами расположены атомы  $\text{M}, \text{Al}$  и единичные атомы бора [<sup>1, 2</sup>]. При этом может наблюдаться неполная заселенность позиций  $\text{M}$  и  $\text{Al}$  (например, уточненная формула соединения  $\text{MgAlB}_{14}$  имеет вид  $\text{Mg}_{0.78}\text{Al}_{0.75}\text{B}_{14}$  [<sup>1</sup>]).

В настоящей работе кристаллизацией из раствора в расплаве алюминия по методике, описанной ранее [<sup>3</sup>], получены монокристаллы тройных соединений  $\text{LnAlB}_{14}$  (где  $\text{Ln}=\text{Tb}, \text{Dy}, \text{Ho}, \text{Er}, \text{Yb}, \text{Lu}$ ). Монокристаллы имели вид игл и пластин с металлическим блеском, но прозрачных в тонком слое, густо-красного цвета. Линейные размеры кристаллов составляли  $1-3 \times 1 \times 0.5$  мм. Рентгеноструктурный анализ полученных монокристаллов

Периоды решетки соединений  $\text{LnAlB}_{14}$  (в скобках приведена погрешность определения последнего знака)

Соединение	Периоды решетки, Å		
	<i>a</i>	<i>b</i>	<i>c</i>
$\text{TbAlB}_{14}$	5.836 (7)	10.419 (9)	8.189 (8)
$\text{DyAlB}_{14}$	5.846 (5)	10.420 (6)	8.198 (5)
$\text{HoAlB}_{14}$ , иглы	5.816 (1)	10.399 (2)	8.182 (2)
$\text{HoAlB}_{14}$ , пластины	5.841 (5)	10.410 (6)	8.188 (5)
$\text{ErAlB}_{14}$ , иглы	5.839 (7)	10.390 (9)	8.171 (8)
$\text{ErAlB}_{14}$ , пластины	5.842 (5)	10.406 (6)	8.186 (5)
$\text{YbAlB}_{14}$	5.860 (3)	10.439 (3)	8.222 (2)
$\text{LuAlB}_{14}$	5.867 (7)	10.364 (8)	8.157 (7)
Литературные данные			
$\text{LiAlB}_{14}$ [ <sup>2</sup> ]	5.8469 (9)	10.3542 (6)	8.1429 (8)
$\text{MgAlB}_{14}$ [ <sup>1</sup> ]	5.848	10.313	8.115

кристаллов (методы Лауз, вращения и КФОР) показал их принадлежность к известному структурному типу  $MgAlB_{14}$  (ромбическая структура, пространственная группа  $Imma$  или  $Im\bar{a}2$ ). Периоды решетки кристаллов определяли по порошковограммам, полученным в камере РКД 143.25 мм, и уточняли методом МНК на ЭВМ СМ-4 (см. таблицу).

Физические свойства соединений  $MAIB_{14}$  ( $M=Li$ ,  $Mg$ ) малоизучены [4, 5], а для полученных нами соединений  $LnAlB_{14}$  никем ранее не исследовались. В связи с этим в настоящей работе были исследованы электрические и магнитные свойства монокристаллических образцов  $LnAlB_{14}$  ( $Ln=Tb$ ,  $Dy$ ,  $Ho$ ,  $Er$ ,  $Lu$ ). Температурные зависимости намагниченности  $M(T, H_0)$  в фиксированном магнитном поле  $H_0=2$  кЭ измерялись на вибрационном магнитометре PARK 155 (США) в температурном интервале 5–280 К, а зависимости  $R(T)$  и  $R(H)$  — на постоянном токе по стандартной 4-точечной методике при  $T=1.5$ –300 К. Подробно методика измерений описана в [6, 7].

## 1. Магнитные свойства

Температурные зависимости намагниченности  $M(T)$  в координатах  $1/M=f(T)$  приведены на рис. 1. (На этом рисунке не показаны данные для  $HoAlB_{14}$ , так как кривые  $M(T)$  для  $HoAlB_{14}$  и  $DyAlB_{14}$  практически совпадают). Линейные участки в этих координатах отвечают закону Кюри—Вейссса:  $M \sim \mu_{eff}^2/(T-\Theta)$ . Определение параметров  $\Theta$  и  $\mu_{eff}$  в интервале температур 150–250 К дает следующие значения эффективного магнитного момента и температуры Кюри

	Tb	Dy	Ho	Er
$\mu_{eff}$ ( $\mu_B$ )	11.0	12.1	11.8	11.2
$\Theta$ (К)	10	-13	-16	-19
$\mu_{teor}$ ( $\mu_B$ )	9.72	10.63	10.60	9.59

Представляет интерес сравнить полученные значения  $\mu_{eff}$  с теорети-

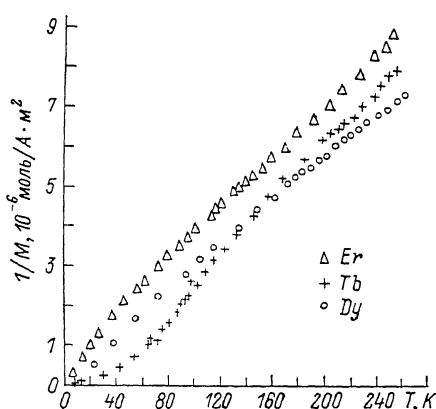


Рис. 1. Температурные зависимости обратной намагниченности  $M^{-1}(T)$  для монокристаллов  $LnAlB_{14}$  ( $Ln=Tb$ ,  $Dy$ ,  $Er$ ) в магнитном поле  $H_0=2$  кЭ.

ческим значением эффективного магнитного момента  $\mu_{teor}=g[J(J+1)]^{1/2}$ . Несколько завышенные значения  $\mu_{eff}$ , полученные из эксперимента, связаны, по-видимому, с тем, что при расчетах  $\mu_{eff}$  не учитывался форм-фактор образцов. Следует отметить, что по мере перехода от  $Tb$  к  $Er$  константа Кюри  $\Theta$  меняет знак и увеличивается по абсолютной величине, что свидетельствует об усилении антиферромагнитного взаимодействия локализованных магнитных моментов (ЛММ) ионов редкоземельных элементов.

При низких температурах происходит изменение наклона зависимости  $M^{-1}(T)$  (рис. 1). Для  $ErAlB_{14}$  параметр  $\Theta$  уменьшается по абсолютной величине, и в области  $T \leq 20$  К  $\Theta \rightarrow 0$ , т. е. наблюдается закон Кюри:  $M \sim \mu_{eff}^2/T$ . Аналогичное, но менее ярко выраженное поведение наблюдается для  $HoAlB_{14}$  и  $DyAlB_{14}$ . В случае  $TbAlB_{14}$  по мере понижения температуры переход ферромагнитной температуры Кюри к нулю происходит наиболее резко, так что при  $T \sim 60$  К на температурной зависимости  $M^{-1}(T)$  виден излом.

## 2. Электрические свойства монокристалла $\text{ErAlB}_{14}$

При понижении температуры сопротивление  $R(T)$   $\text{ErAlB}_{14}$  монотонно возрастает. Эти данные хорошо спрямляются в моттовских координатах  $\lg R = f(T^{-1/4})$ , что указывает на наличие прыжковой проводимости с переменной длиной прыжка. В интервале температур 16–300 К зависимости  $R(T)$  следуют закону Мотта:  $R = R_0 \exp [-(T_0/T)^{-1/4}]$  с параметром  $T_0 \sim 670$  К. Понижение температуры в области  $T < T_1 \sim 22$  К вначале приводит к увеличению параметра  $T_0$  до  $T_0 \approx 3100$  К, а затем при  $T \ll T_2 \approx 6$  К наблюдается отклонение от закона Мотта (рис. 2).

В магнитном поле при  $T = 4.2$  К у соединения  $\text{ErAlB}_{14}$  было обнаружено гигантское отрицательное магнетосопротивление (ОМС) (рис. 3). Подобный эффект ранее наблюдался в ряде полумагнитных полупроводников (ПМПП) [8, 9]. Причиной сильного ОМС является обменное взаимодействие носителей заряда с ЛММ, приводящее к гигантским спиновым

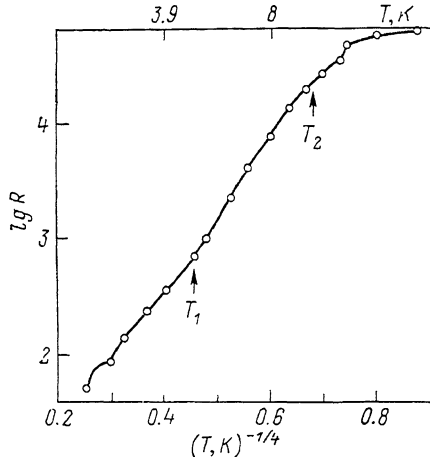


Рис. 2. Температурная зависимость сопротивления соединения  $\text{ErAlB}_{14}$  в моттовских координатах  $\lg R = f(T^{-1/4})$ .

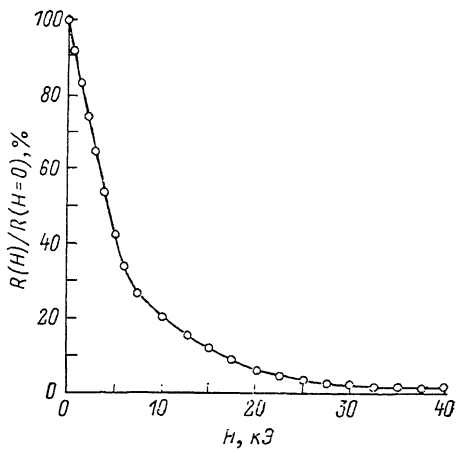


Рис. 3. Относительное магнетосопротивление монокристалла  $\text{ErAlB}_{14}$  при  $T = 4.2$  К.

расщеплением [8]. В случае  $\text{ErAlB}_{14}$  нерегулярности структуры (частичная заселенность позиций Er и Al между икосаэдрами  $\text{B}_{12}$ ) приводят к локализации носителей заряда и формированию примесной полосы в запрещенной зоне. Величина запрещенной зоны в монокристалле  $\text{ErAlB}_{14}$  неизвестна, но по аналогии с  $\text{LiAlB}_{14}$ , где  $E_g \approx 1.82$  эВ [4], можно ожидать аналогичных значений  $E_g$  и для  $\text{ErAlB}_{14}$ . Гигантские спиновые расщепления примесной полосы в магнитном поле могут привести к повышению плотности состояний на уровне Ферми  $g(E_f)$ , влияющей на параметр  $T_0$  в законе Мотта:  $T_0 = 21.2/a^3 g(E_f)$  [10]. Увеличение  $g(E_f)$  в примесной зоне ПМПП можно представить себе как результат раздвижки спиновых подзон « $\uparrow$ » и « $\downarrow$ » в магнитном поле. В обычных полупроводниках этот эффект мал, в то время как в ПМПП обменное взаимодействие носителей заряда с ЛММ усиливает спиновое расщепление подзон более чем в 100 раз [8]. Взаимодействие локализованных электронов примесной полосы с ЛММ в ПМПП вызывает образование связанных магнитных полярионов (СМП) [8]. Электроны, локализованные на примесных центрах, поляризуют (в радиусе локализации  $a$ ) соседние ЛММ в объеме порядка  $a^3$  ( $a$  — радиус локализации), создавая конечную намагниченность в пределах радиуса локализации даже при нулевом внешнем поле.

С этой точки зрения изменение параметра  $T_0$  в законе Мотта при  $T \sim T_1$  (рис. 2) можно объяснить следующим образом. Если СМП отсутствуют, то спины ЛММ практически не влияют на процессы прыжковой проводимости. После образования СМП прыжок электрона на незанятый примес-

ный центр сопряжен с дополнительной поляризацией ЛММ вокруг этого центра, что и может приводить к повышению параметра  $T_0$ . Образование СМП при  $T \leq T_1$  влияет и на характер взаимодействия ЛММ друг с другом, что проявляется в переходе к закону Кюри ( $\Theta \rightarrow 0$  при низких температурах, рис. 1).

Отклонение от закона Мотта в области  $T \leq T_2$  может быть следствием влияния обменного магнитного поля СМП. Это поле, по-видимому, является своеобразным аналогом внешнего поля, приводящего к ОМС.

Таким образом, данные, полученные в настоящей работе, могут быть интерпретированы в рамках имеющихся представлений об особенностях свойств ИМПП и процессах образования СМП в них. Однако такая трактовка нуждается в дополнительном экспериментальном подтверждении. В частности, крайне информативным представляется исследование комбинационного рассеяния света в  $\text{LnAlB}_{14}$ , поскольку существование СМП можно доказать по наличию ненулевого стоксовского сдвига в ненулевом магнитном поле [11].

### Л и т е р а т у р а

- [1] Matkovich V. I. Economy J. Acta Cryst., 1970, vol. B26, N 6, p. 616–621.
- [2] Higashi I. J. Less-Common Met., 1981, vol. 82, N 1/2, p. 317–323.
- [3] Михаленко С. И., Кузьма Ю. Б., Корсукова М. М., Гурин В. Н. Изв. АН СССР, Неоргн. материалы, 1980, т. 16, № 11, с. 1941–1944.
- [4] Werheit H., Franz R., Higashi I. J. Less-Common Met., 1986, vol. 117, N 1–2, p. 169–174.
- [5] Bairamashvili I. A., Kekelidze L. I., Golikova O. A., Orlov V. M. J. Less-Common Met., 1979, vol. 67, N 1/2, p. 461–464.
- [6] Мошталков В. В. Автореф. докт. дис. М., МГУ, 1985.
- [7] Случанко Н. Е. Автореф. канд. дис. М., МГУ, 1986.
- [8] Brandt N. B., Moshchalkov V. V. Advances in Physics, 1984, vol. 33, N 3, p. 193–256.
- [9] Wojtowicz T., Mycielsky J. Proc. 16<sup>th</sup> Int. Conf. on the Physics of Semiconductors, Montpellier, 1982. Physica, 1983, vol. 117B–118B, p. 476.
- [10] Шкловский Б. И., Эфрос А. Л. Электронные свойства легированных полупроводников. М.: Наука, 1979. 416 с.
- [11] Wolff P. A., Warnock J. J. Appl. Phys., 1984, vol. 55, N 6, Part 11B, p. 2300–2304.

Московский  
государственный университет  
Москва  
Физико-технический институт  
им. А. Ф. Иоффе АН СССР  
Ленинград

Поступило в Редакцию  
11 декабря 1987 г.